

Netzwerk und Schaltungen II

Übung 12

Netzwerkberechnung mit Laplace-Transformation II



THEORIE FÜR DIE ÜBUNG

1. Differentialgleichungen im Zeitbereich aufstellen

- Widerstand: $u_R(t) = R \cdot i_R(t)$
- Induktivität: $u_L(t) = L \cdot \frac{di_L(t)}{dt}$
- Kondensator: $i_C(t) = C \cdot \frac{du_c(t)}{dt}$

2. Gleichungen in den Laplace-Bereich transformieren

- Option 1 (Meistens sehr aufwendig):

Laplace-Transformation von Hand mit dem Integral

$$F(s) = \mathcal{L}\{f(t)\} = \int_0^{\infty} f(t)e^{-st} dt$$

- Option 2 (Einfacher):

Laplace-Transformation mit der Korrespondenztabelle

Abb 1. (zbs. in der NUSII Zmf.)

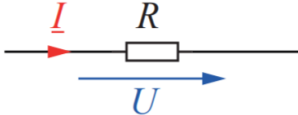
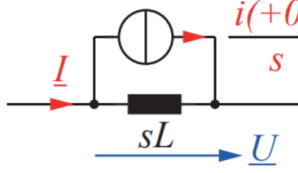
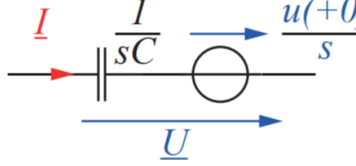
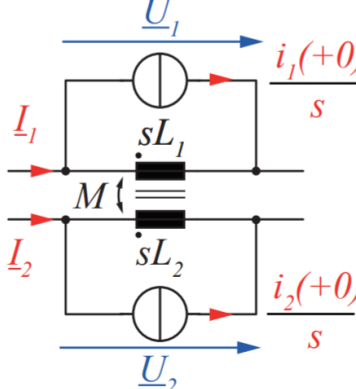
3. Gleichung im Laplace-Bereich lösen

4. Die Lösung mit der Tabelle zurücktransformieren

$u(t)$	$\circ \bullet$	$\underline{U}(s)$	$u(t)$	$\circ \bullet$	$\underline{U}(s)$
$u(at), a > 0$	$\circ \bullet$	$\frac{1}{a} \underline{U}\left(\frac{s}{a}\right)$	$\lambda u(t) + \mu v(t)$	$\circ \bullet$	$\lambda \underline{U}(s) + \mu \underline{V}(s)$
$u(t - t_0)$	$\circ \bullet$	$e^{-st_0} \underline{U}(s)$	$e^{-at} u(t)$	$\circ \bullet$	$\underline{U}(s + a)$
$-t u(t)$	$\circ \bullet$	$\underline{U}'(s)$	$t^2 u(t)$	$\circ \bullet$	$\underline{U}''(s)$
$(-t)^n u(t)$	$\circ \bullet$	$\underline{U}^{(n)}(s)$	$u''(t)$	$\circ \bullet$	$s^2 \underline{U}(s) - s u(0) - u'(0)$
$u'(t)$	$\circ \bullet$	$s \underline{U}(s) - u(0)$	$u^{(n)}(t)$	$\circ \bullet$	$s^n \underline{U}(s) - s^{n-1} u(0) - s^{n-2} u'(0) - \dots - u^{(n-1)}(0)$
$\int_0^t u(\tau) d\tau$	$\circ \bullet$	$\frac{1}{s} \underline{U}(s)$	period. mit T	$\circ \bullet$	$\frac{1}{1-e^{-sT}} \int_0^T u(t) e^{-st} dt$
$\frac{1}{\tau} e^{-t/\tau}$	$\circ \bullet$	$\frac{1}{s\tau+1}$	$1 - e^{-t/\tau}$	$\circ \bullet$	$\frac{1}{s(s\tau+1)}$
$\frac{1}{\tau^2} t e^{-t/\tau}$	$\circ \bullet$	$\frac{1}{(s\tau+1)^2}$	$\frac{1}{\tau_1-\tau_2} (e^{-t/\tau_1} - e^{-t/\tau_2})$	$\circ \bullet$	$\frac{1}{(s\tau_1+1)(s\tau_2+1)}$
ramp(t) = $\begin{cases} 0 & t < 0 \\ t & t > 0 \end{cases}$	$\circ \bullet$	$\frac{1}{s^2}$	$t - \tau + \tau e^{-t/\tau}$	$\circ \bullet$	$\frac{1}{s^2(s\tau+1)}$
$\cos(\omega t)$	$\circ \bullet$	$\frac{s}{s^2+\omega^2}$	$E(t)$	$\circ \bullet$	$\frac{1}{s}$
$\sin(\omega t)$	$\circ \bullet$	$\frac{\omega}{s^2+\omega^2}$	$\frac{1}{a^2} (e^{at} - at - 1) E(t)$	$\circ \bullet$	$\frac{1}{s^2(s-a)}$
$\exp(at)$	$\circ \bullet$	$\frac{1}{s-a}$			

(Abbildung 1 : Tabelle aus der Zmf. für die Prüfung)

Repetition: Bauteile im Laplacebereich mit Anfangswerten

Komponente	Spannung	Strom
	$\underline{U} = R\underline{I}$	$\underline{I} = \underline{U} / R$
	$\underline{U} = sL\underline{I} - Li(+0)$	$\underline{I} = \frac{1}{sL} \underline{U} + \frac{i(+0)}{s}$
	$\underline{U} = \frac{1}{sC} \underline{I} + \frac{u(+0)}{s}$	$\underline{I} = sC\underline{U} - Cu(+0)$
	Transformator-Gleichungen $\underline{U}_1(s) = sL_1 I_1(s) - L_1 i_1(+0) + sM I_2(s) - M i_2(+0)$ $\underline{U}_2(s) = sM I_1(s) - M i_1(+0) + sL_2 I_2(s) - L_2 i_2(+0)$	

Um die Tabelle für die Rücktransformation aus dem Bildbereich zurück in den Zeitbereich benutzen zu können, muss man oft kompliziertere Brüche mit der Partialbruchzerlegung (PBZ) in einfachere Brüche zerlegen:

Bsp:

$$\frac{1}{s(s+3)} \rightarrow \text{PBZ} \rightarrow \frac{1}{3 \cdot s} - \frac{1}{3(s+3)}$$

Ansatz für eine einfache PBZ:

$$\frac{1}{(s-s_1) \cdot (s-s_2) \cdot \dots} = \frac{A_1}{s-s_1} + \frac{A_2}{s-s_2} + \dots$$

-> Mit dem Nenner der linken Seite Erweitern:

$$1 = A_1 \cdot (s-s_2) \cdot \dots + A_2 \cdot (s-s_1) \cdot \dots$$

-> Liefert n Gleichungen um die Koeffizienten $A_1 \dots A_n$ zu bestimmen.

Bei m -fachen Nullstellen:

$$\frac{\text{(Polynom (Grad } \leq m-1\text{))}}{(s-s_1)^m} = \frac{A_1}{(s-s_1)} + \frac{A_2}{(s-s_1)^2} + \dots + \frac{A_m}{(s-s_1)^m}$$

Partialbruchzerlegung Beispiel

Führe für folgenden Bruch eine Partialbruchzerlegung durch

$$\frac{s+10}{s^2 + 5s - 14}$$

HP PRIME...

PARTFRAC $\left(\frac{s+10}{s^2 + 5s - 14} \right)$

1) Nullstellen Bestimmen : $s^2 + 5s - 14 = 0$

$$\Leftrightarrow s_{1,2} = \frac{-b \pm \sqrt{qac - b^2}}{2a} \quad \Rightarrow \quad s_1 = -7 \\ s_2 = 2$$

2) Bruch mit MS
aufschreiben

$$\frac{s+10}{s^2 + 5s - 14} = \frac{s+10}{(s+7)(s-2)} = \frac{A}{(s+7)} + \frac{B}{(s-2)} = \frac{\underline{-1}}{(s+7)} + \frac{\underline{4}}{(s-2)}$$

3) Gleichungen
aufstellen

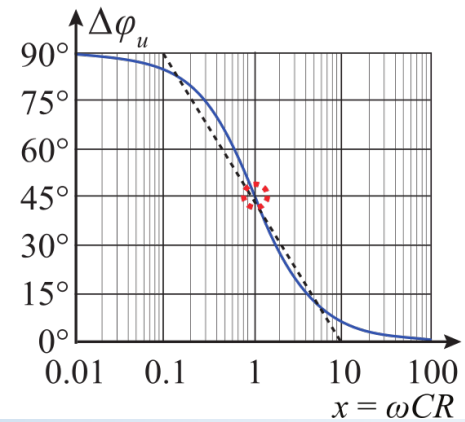
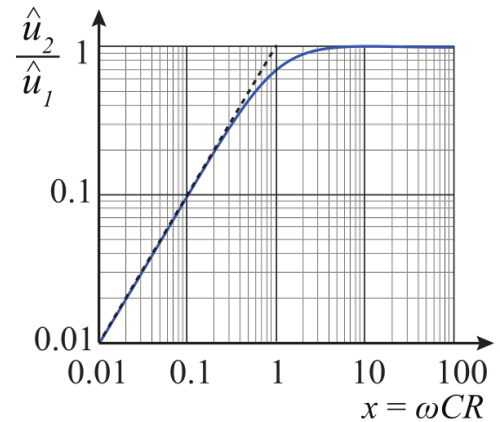
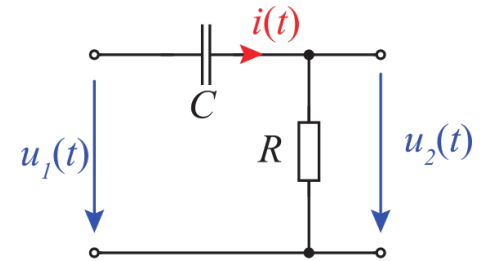
$$\Leftrightarrow s+10 = A(s-2) + B(s+7)$$

$$\underline{s=2} : 12 = 9B \quad \Leftrightarrow \underline{B = \frac{12}{9}} = \underline{\frac{4}{3}}$$

$$\underline{s=-7} : 3 = -9A \quad \Leftrightarrow \underline{A = \frac{-1}{3}}$$

Da war doch noch was - Bodeplots

- Wir benutzen sog. Bodeplots, um das Verhalten von Übertragungsfunktionen bei verschiedenen Frequenzen zu untersuchen
- Zwei Plots: Amplitude + Phasenverschiebung
- Uns interessiert das Verhalten über mehrere Größenordnungen
- => log-Skala (dB)
- $(\frac{u_2}{u_1})_{dB} = 20 \cdot \log_{10}(\frac{u_2}{u_1})$
- Erinnert euch an folgende Eigenschaft der log-Fkt.:
 - $\log_{10}(A \cdot B \cdot C) = \log_{10}(A) + \log_{10}(B) + \log_{10}(C)$



Bodeplots: How to?

- Executive Summary:
 - Übertragungsfunktion in Nullstellenform bringen (also nach Grundbausteinen aufsplitten)
 - Grenzfrequenzen berechnen
 - Beiträge der einzelnen Grundbausteine bestimmen
 - Startpunkt berechnen
 - Funktion aufzeichnen

Zusammenfassung Netzwerke und Schaltungen II (D-ITET)

Bode-Diagramm

Gesuchte wird von kleinen zu grossen Frequenzen, d.h. links nach rechts / Darstellung in dB-Skala $\rightarrow F(\omega)[\text{dB}] = 20 \log_{10}(F(\omega))$

1. Faktorisieren der Funktion: $F_{\text{ges}}(j\omega) = K_0 (j\omega)^{-n} \frac{F_1(j\omega) \cdot F_2(j\omega) \cdots F_n(j\omega)}{F_{2n}(j\omega)}$

Teilsysteme $F_i(j\omega)$ in Standardform

$F_1(j\omega) = 1 + j\omega T_{1s}$	Steigung +20dB/Dekade	Phase +90°
$F_2(j\omega) = \frac{1}{1+j\omega T_{2s}}$	Steigung -20dB/Dekade	Phase -90°
$F_3(j\omega) = 1 + 2j\omega T_{3s}(j\omega) + (j\omega)^2 T_{3s}^2$	Steigung +40dB/Dekade Bedingung: $d_1 \leq 1$, sonst Polynom mit 2 reellen Nullstellen	Phase +180°
$F_4(j\omega) = \frac{1}{1+2j\omega T_{4s}(j\omega)+(j\omega)^2 T_{4s}^2}$	Steigung -40dB/Dekade Bedingung: $d_2 \leq 1$, sonst Polynom mit 2 reellen Nullstellen	Phase -180°

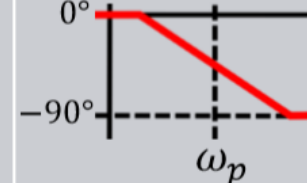
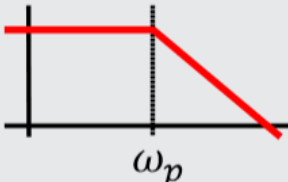
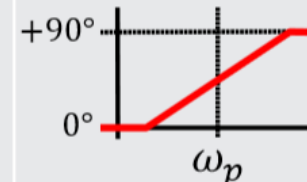
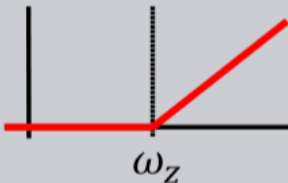
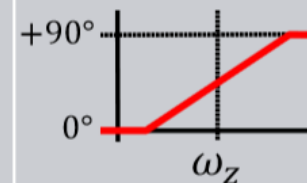
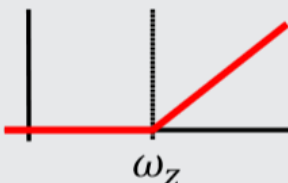
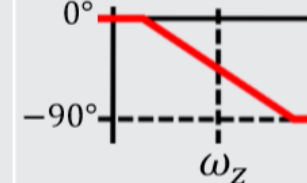
2. Teilsysteme nach unterschiedlichen Eckfrequenzen $\omega_s = jT_{is}$, bzw. $\omega_a = jT_{as}$ sortieren ($\omega_s = \text{kleinste Eckfrequenz}$)
3. Amplitudengang (doppelpotlogarithmische Darstellung)
4. Startpunkt: $\omega_s / |F_{\text{ges}}(j\omega_s)| = 20 \log_{10}(|K_0 F_{2n}^{*}(0)|) - \omega_s^2$
5. Startpunkt nach linearer Geraden
6. Steigung nach linearer Geraden
7. Steigung nach konvexem Verlauf: Vier Fälle:
 - Resonanzüberhöhung bei ω_s um $-20 \log_{10}(2d_1)$ dB oberhalb Geradenabsch.
 - Amplitude: $|F(j\omega_s)| = \frac{1}{2d_1}$
 - Resonanzkreisfrequenz $\omega_r = \omega_s \sqrt{1 - 2d_1^2} \Rightarrow$ Punkt um $-20 \log_{10}(2d_1 \sqrt{1 - d_1^2})$ dB oberhalb Geradenabsch
8. Phasengang (logarithmische x-Achse)
9. Startfrequenz ω_s nach Inke:

$$\theta(0) = \begin{cases} r \cdot 90^\circ & \text{falls } K_0 F_{2n}^{*}(0) > 0 \\ -180^\circ + r \cdot 90^\circ & \text{falls } K_0 F_{2n}^{*}(0) < 0 \end{cases}$$
10. Anmerkung: Glieder 1. Ordnung – Phasenversatz mit $\pm 45^\circ$ (Dekade zwischen ω_s und ω_a , Konjugiert komplexe Pole): Phasenversatz bei Eckfrequenz um so stärker, je kleiner d_1 .
11. Phasengang für Teilsystem $F_i(j\omega)$ im punktweise nach den angestiegenen Eckfrequenzen ω_s .
12. $\omega \rightarrow \infty$: Phase φ_{HPE} steigt gegen $(m-n) \cdot 90^\circ$ (n Grad Nullstellen & m Grad Zahlerpolynom).

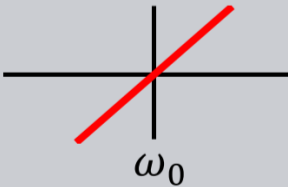
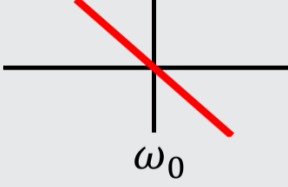
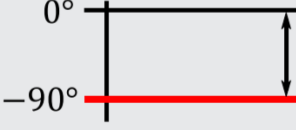
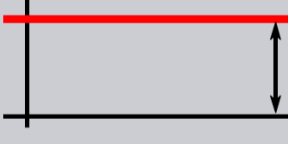
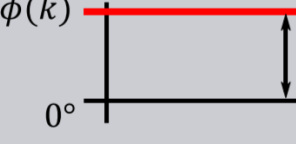
ETH
Eidgenössische Technische Hochschule Zürich
Swiss Federal Institute of Technology Zurich

HPE
Laboratory for High Power Electronic Systems

Bodeplots: Grundbausteine I

	Formula	Amplitude	Phase		
Left Half-Plane Pole	$\frac{1}{1 + \frac{j\omega}{\omega_p}}$	-20dB per decade from pole	 ω_p	-90° over two decades	 ω_p
Right Half-Plane Pole	$\frac{1}{1 - \frac{j\omega}{\omega_p}}$	-20dB per decade from pole	 ω_p	+90° over two decades	 ω_p
Left Half-Plane Zero	$1 + \frac{j\omega}{\omega_z}$	+20dB per decade from zero	 ω_z	+90° over two decades	 ω_z
Right Half-Plane Zero	$1 - \frac{j\omega}{\omega_z}$	+20dB per decade from zero	 ω_z	-90° over two decades	 ω_z

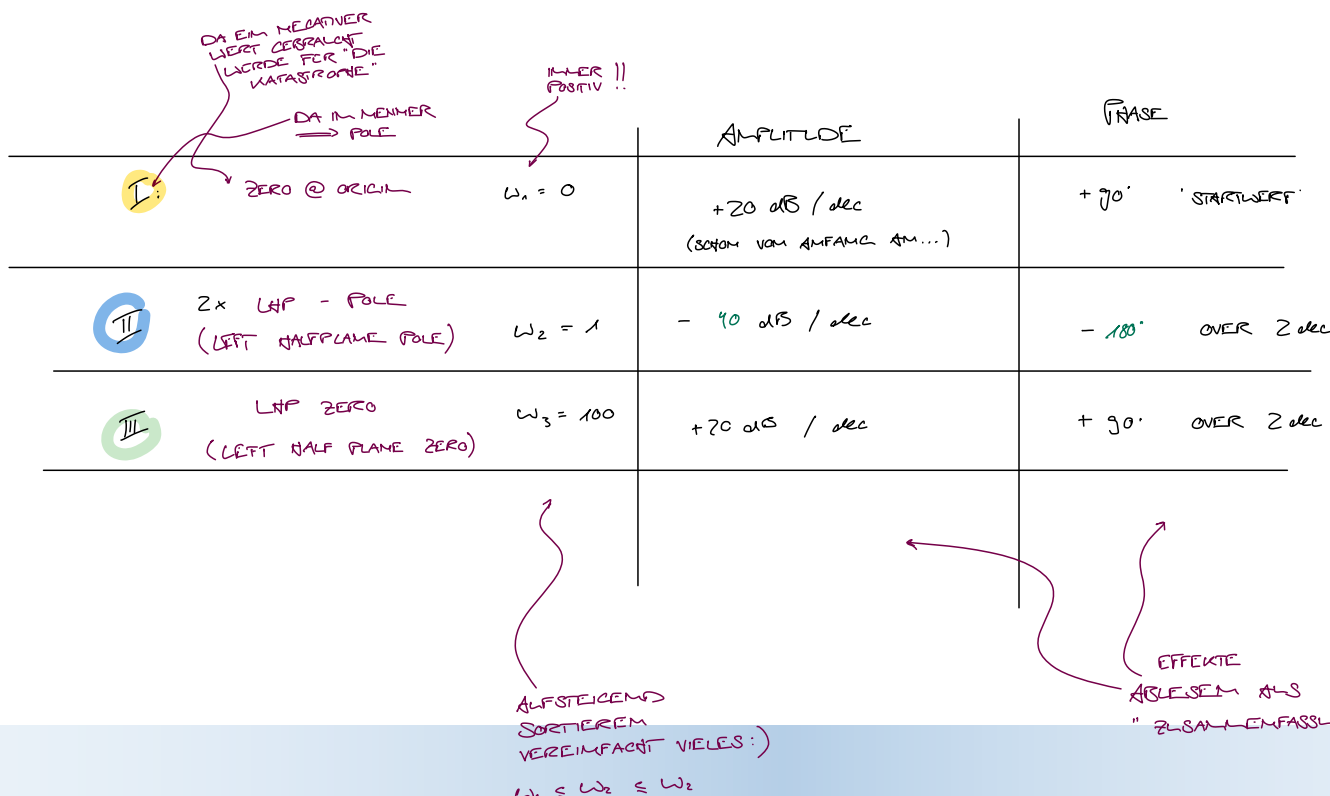
Bodeplots: Grundbausteine II

	Formula	Amplitude	Phase		
Zero at $\omega = 0$	$\frac{j\omega}{\omega_0}$	+20dB per dec., 0dB at $\omega = \omega_0$	 ω_0	+90°	 +90°
Pole at $\omega = 0$	$\frac{\omega_0}{j\omega}$	-20dB per dec., 0dB at $\omega = \omega_0$	 ω_0	-90°	 -90°
Constant	k	$20 \log_{10} k $		$\varphi(k)$	 $\phi(k)$

Bodeplot: Beispiel als Refresher

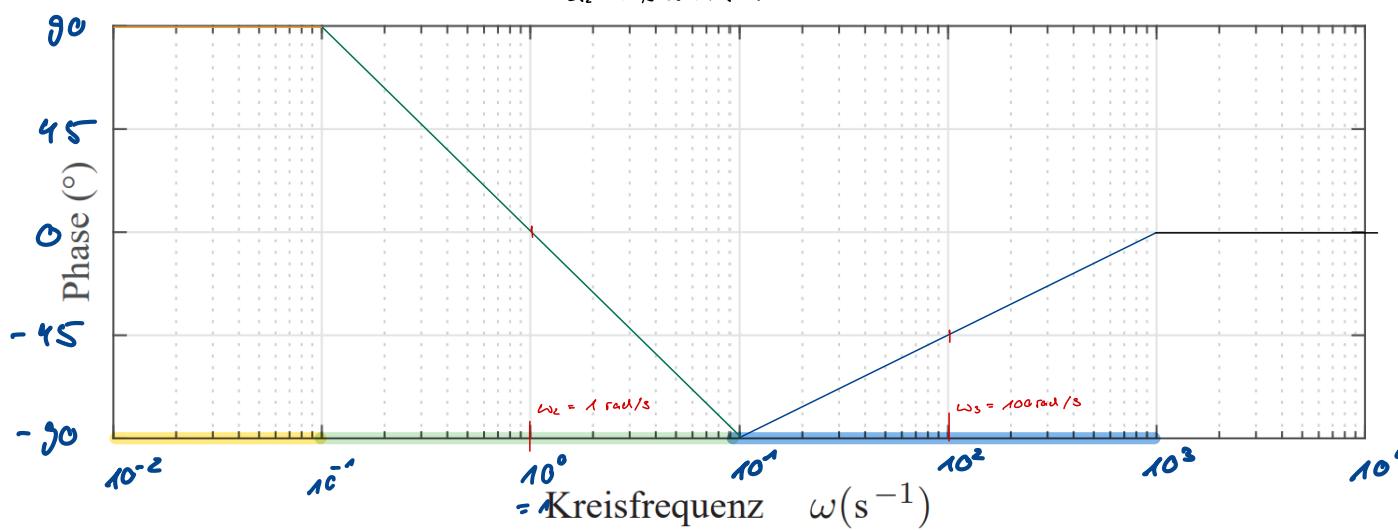
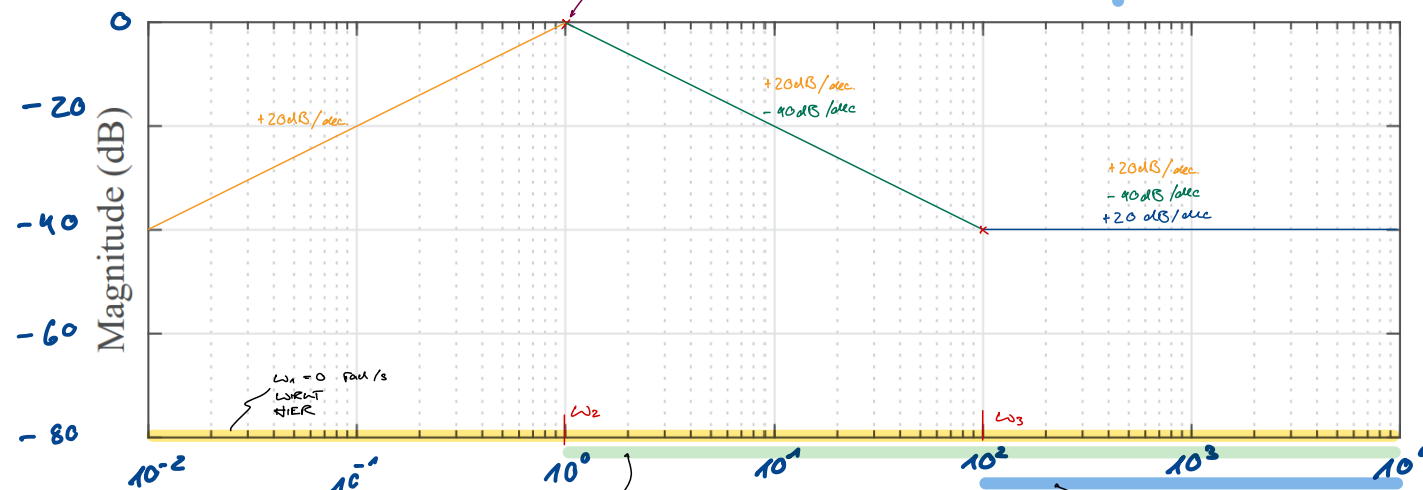
- Zeichne das Bodeplot von folgender Übertragungsfunktion

$$\frac{U_2(s)}{U_1(s)} = \frac{s \cdot (100 + s)}{50 \cdot (1 + s)^2} = L(s) = L(j\omega)$$



Bodeplots: Beispiel 1

$$20 \cdot \log_{10} \left[\frac{(j \cdot 1) (100 + j \cdot 1)}{50 \cdot (1 + j \cdot 1)^2} \right]$$



BEISPIELAUFGABE

RL - Schaltung mit Laplace-Transformation

Die Spannungsquelle in Abb. 1 liefert die im rechten Teilbild dargestellte periodische Sägezahnspannung mit der Amplitude \hat{u} und der Periodendauer T .

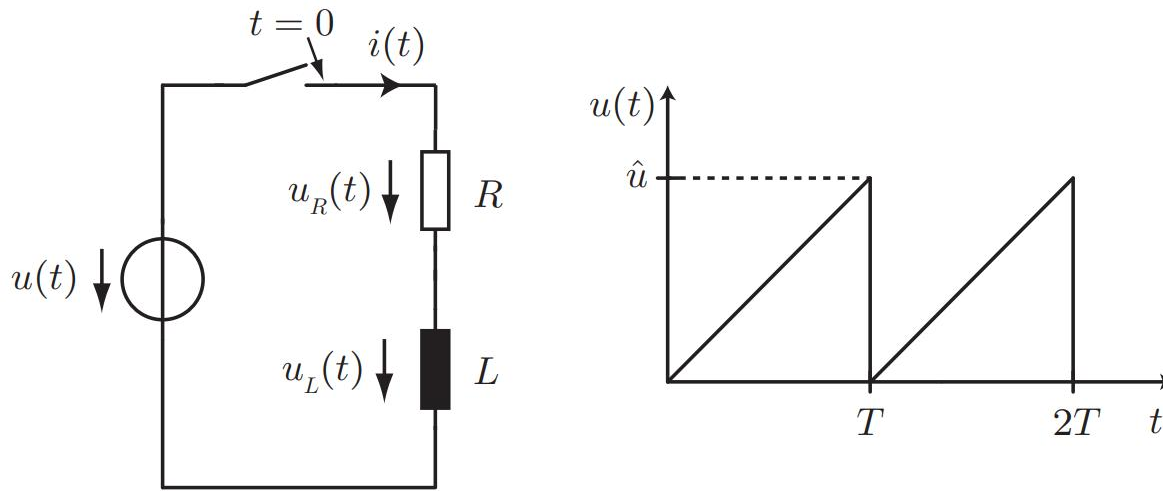


Abbildung 1: Sägezahnspannung an RL-Schaltung

Bestimmen sie den Verlauf des Stromes $i(t)$ für den Zeitbereich $0 \leq t \leq 2T$. Stellen Sie den Zeitverlauf für $R = 1\Omega$, $L = 10mH$, $\hat{u} = 10V$ und $T = 100\mu s$ dar.